

Figure 2

Figure 3

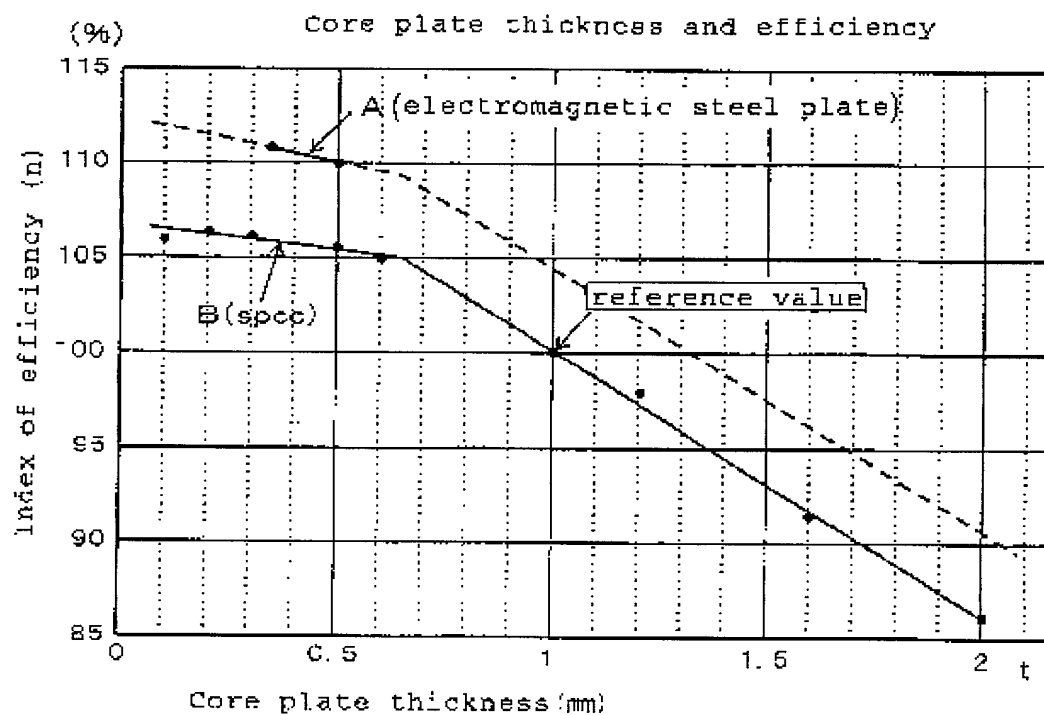
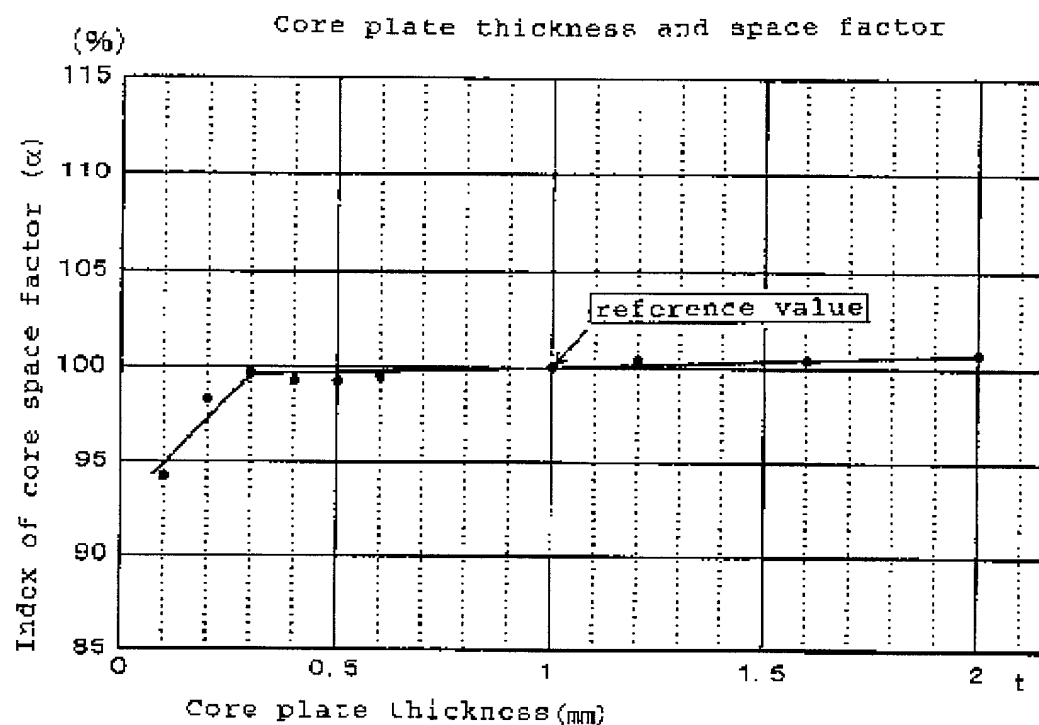


Figure 4

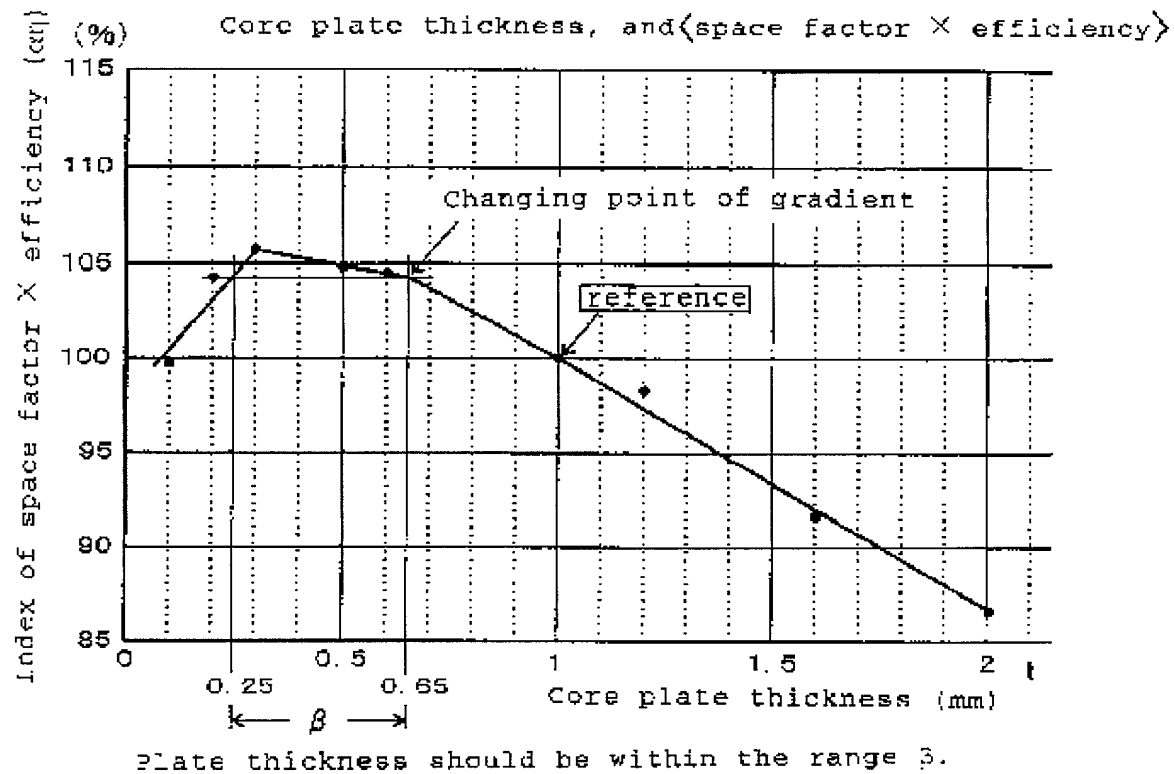


Figure 5

θ mechanical angle	Θ magnet deflection angle	$\frac{180-\Theta}{2}$ Bisecting angle between poles	A_1 Wave height value of 1st harmonic	A_2 Wave height value of 2nd harmonic	A_3 Wave height value of 3rd harmonic	A_4 Wave height value of 4th harmonic	A_{max} Maximum value of harmonic	B $\left(\frac{A_{max}}{0.424}\right)$
23.3°	180	0	1.273	0.424	0.255	0.182	0.424	
	170	5	1.268	0.410	0.231	0.149	0.410	
	160	10	1.254	0.368	0.164	0.082	0.368	
	150	15	1.230	0.300	0.066	0.047	0.300	0.708
	140	20	1.196	0.212	0.044	0.139	0.212	0.500
	139	20.5	1.193	0.203	0.055	0.146	0.203	
	138	21	1.189	0.193	0.066	0.153	0.193	
	137	21.5	1.185	0.183	0.077	0.158	0.183	
	136	22	1.181	0.173	0.087	0.163	0.173	
	135	22.5	1.176	0.162	0.097	0.168	0.168	
22.5°	134	23	1.172	0.152	0.108	0.172	0.172	
	133	23.5	1.168	0.142	0.118	0.175	0.175	
	132	24	1.163	0.131	0.127	0.178	0.178	
	131	24.5	1.159	0.121	0.137	0.180	0.180	
	130	25	1.154	0.110	0.146	0.181	0.181	
	129	25.5	1.149	0.099	0.155	0.182	0.182	
	128	26	1.144	0.089	0.164	0.182	0.182	
	127	26.5	1.139	0.077	0.172	0.181	0.181	
	126	27	1.134	0.066	0.180	0.180	0.180	
	125	27.5	1.129	0.055	0.188	0.178	0.188	
20.3°	124	28	1.124	0.044	0.195	0.175	0.195	
	123	28.5	1.119	0.033	0.202	0.171	0.202	
	122	29	1.114	0.022	0.209	0.167	0.209	0.493
	121	29.5	1.108	0.011	0.215	0.163	0.215	0.507
	120	30	1.103	0.000	0.221	0.158	0.221	0.521
	110	35	1.043	0.110	0.254	0.077	0.254	0.599
	100	40	0.975	0.212	0.239	0.032	0.239	
	90	45	0.900	0.300	0.180	0.129	0.300	
	80	50	0.818	0.368	0.087	0.179	0.368	
	70	55	0.730	0.410	0.022	0.165	0.410	
	60	60	0.637	0.424	0.127	0.091	0.424	
	50	65	0.538	0.410	0.209	0.016	0.410	
	40	70	0.435	0.368	0.251	0.117	0.368	
	30	75	0.330	0.300	0.246	0.176	0.300	
	20	80	0.221	0.212	0.195	0.171	0.212	
	10	85	0.111	0.110	0.108	0.104	0.110	
	C	90	0.000	0.000	0.000	0.000	0.000	

OPT

Figure 6

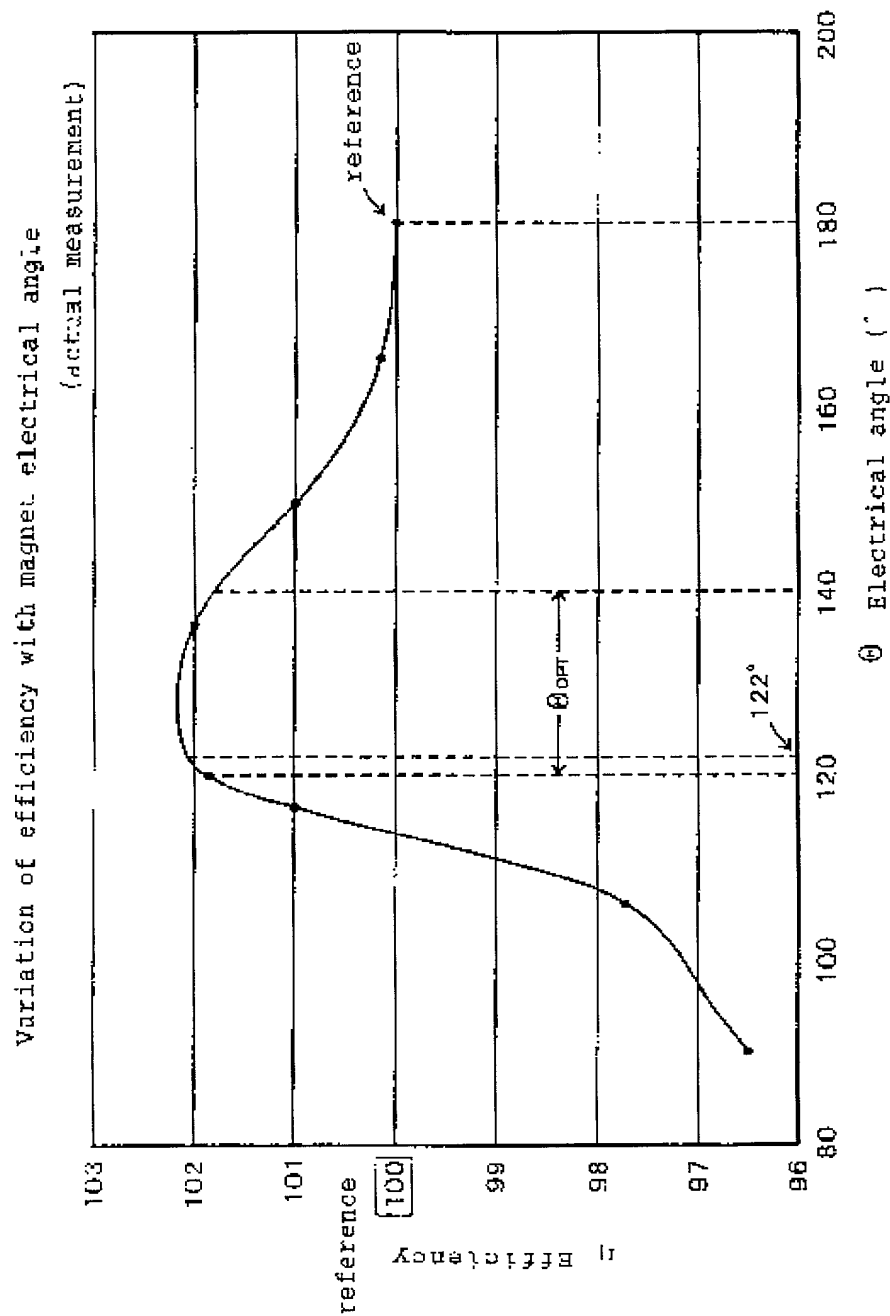


Figure 7